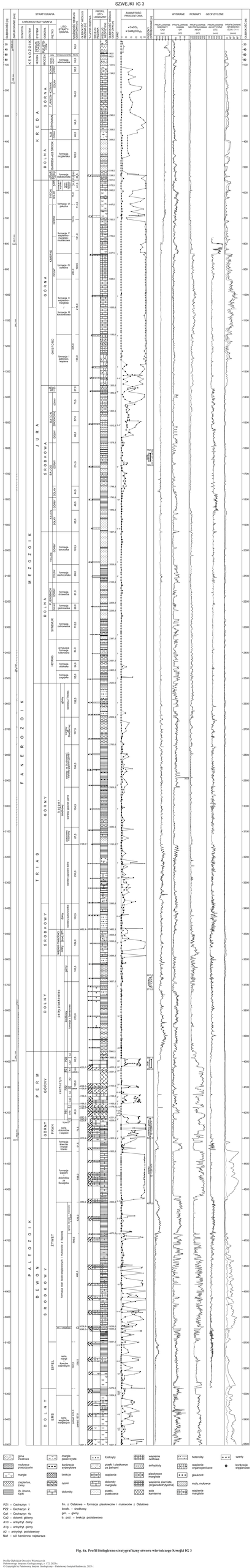
SZWEJKI IG 3
STRATYGRAFIA
CHRONOSTRATYGRAFIA
LITO-STRATYGRAFIA
PETRO
MIĄŻSZOŚĆ NARZUTU [m]
GŁĘBOKOŚĆ NARZUTU [m]
PROFIL LITOLOGICZNY
% UDZIAŁ RDZENIA
MIĄŻSZOŚĆ WARSTW [m]
GŁĘBOKOŚĆ WARSTW [m]
ZAWARTOŚĆ PROCENTOWA
• CaCO3
• CaMgCO3
WYBRANE POMIARY GEOFIZYCZNE
PROFILOWANIE ŚREDNICY (CAL)
PROFILOWANIE GAMMA (GR)
PROFILOWANIE NEUTRONOWO-GAMMA (NPP)
PROFILOWANIE MAGNETYCZNE (MT)
PROFILOWANIE OPORNOŚCI (ILM 0.075)
GŁĘBOKOŚĆ [m]
KENOZOIK
KREDA
DOLNA
GÓRNA
JURA
ŚRODKOWA
TRIAS
PERM
PALEOZOIK
DEWON
MEZOZOIK
FANEROZOIK
formacja Iłowa
formacja Rogów
formacja Ostrowca
formacja Gorzelanki
formacja Ostrzeszowa
formacja Sztabina
formacja Skarbiec
formacja Zawiercie
formacja Ryczów
formacja Kroczyce
formacja Mirów
formacja Sanitas
formacja Jagatów
przykrywka formacji Łabowa
formacja Łabowa
formacja Pomorzany
formacja Wilkowice
formacja Bonarka
formacja Krzeszowice
formacja Tenczynek
formacja Gorażdże
formacja Ornatowice
formacja Ostrzeszów
formacja Zagórze
formacja Tarnowiec
formacja Ropczyce
formacja Skrzyszów
formacja Pierzchnica
formacja Kostrzyca
formacja Sieradz
formacja Gogolin
formacja Jarcewo
formacja Krasiejów
formacja Karlsruhe
formacja Solna
formacja Wodna
formacja Ilsenhöhle
formacja Bad Sulza-Eisenach i Hörselberg
formacja Bad Sulza-Eisenach i Hörselberg
formacja Bad Sulza-Eisenach
formacja Bad Sulza-Eisenach
formacja Bad Sulza-Eisenach

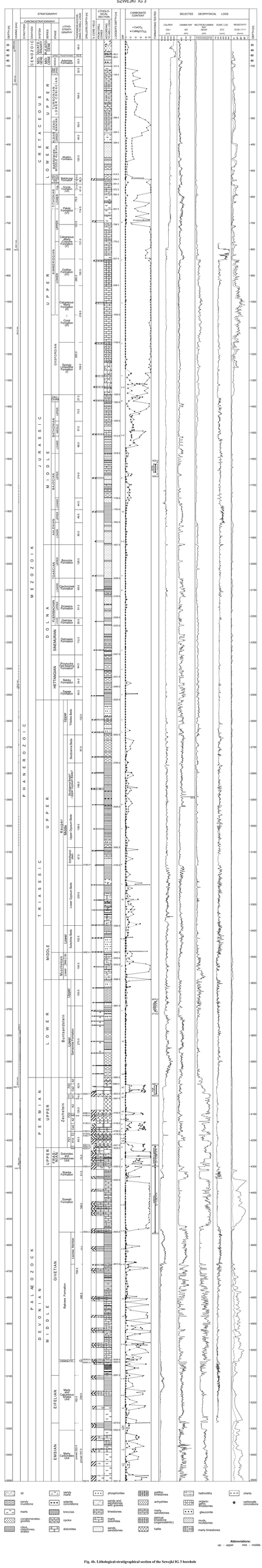
SZWEJKI IG 3
STRATIGRAPHY
CHRONOSTRATIGRAPHY
LITHOLOGY
DRILLING DEPTH [m]
CARBONATE CONTENT
SELECTED GEOPHYSICAL LOGS
CALIPER
GAMMA RAY
NEUTRON-GAMMA
SONIC LOG
RESISTIVITY
PHANEROZOIC
PALEOZOICK
MESOZOIK
CENOZOIC
CRETACEOUS
JURASSIC
TRIASSIC
PERMIAN
DEVONIAN
EMSIAN
EIFELIAN
GIVETIAN
Zechstein
Buntsandstein
Keuper
Muschelkalk
Bonebed Sandstone
Bunter Shale
Bunter Sandstone
Upper Gypsum Beds
Lower Gypsum Beds
Solling Beds
Volpriehausen Beds
Detfurth Beds
Hardegsen Beds
Upper
Lower
Middle
Upper
Lower
Upper
Middle
Lower
Upper
Middle
Lower
Upper
Middle